ISSN: 2835-3730 Website: econferenceseries.com

# РАЗРАБОТКА МЕТОДИКИ ПОЛУЧЕНИЯ СОЛНЕЧНЫХ ЯЧЕЕК НА ОСНОВЕ ЙОДИСТОГО ПЕРОВСКИТА С n-i-p-СТРУКТУРОЙ НА SnO<sub>2</sub>.

### Azimov J.T.

Академия вооруженных сил РУз, Ташкент 100023, Узбекистан, ул. Паркент

В числе наиболее важных задач развития современной альтернативной энергетики особенно актуальным является поиск и исследование материалов, перспективных с точки зрения их использования в разрабатываемых эффективных преобразователях солнечной энергии. Гибридные перовскитные CH<sub>3</sub>NH<sub>3</sub>PbX<sub>3</sub> (X = Cl, Br, I),материалы, частности абсорбера солнечного преимуществами идеального соответствующей и регулируемой шириной запрещенной зоны, высоким коэффициентом поглощения и большой длиной диффузии фотовозбужденных носителей зарядов [1–4]. Используя технологии тонкопленочной электроники, солнечные элементы на основе перовскита достигли весьма высокой эффективности преобразования энергии [5-6]. Значительные усилия были направлены на изучение происхождения уникальных свойств перовскитных материалов, а также на разработку передовых технологий изготовления высокопроизводительных устройств.

Одним из способов увеличения конверсионных показателей ячеек является выбор материалов электронно и дырочно-проводящих слоёв. В качестве одного из наиболее перспективных электронно-проводящих материалов в настоящее время рассматривается двуокись олова SnO<sub>2</sub> [7-9]. Нами были проведены исследования возможностей создания эффективных перовскитных преобразователей с SnO<sub>2</sub> в качестве слоя с электронной проводимостью. В качестве основы создания ячеек была выбрана методика, сходная с представленной в [9], но сочетающая при синтезе SnO<sub>2</sub> термический прогрев с нагревом при УФ обработке, а также добавление антирастворителя (толуол) в процессе формирования перовскитного абсорбера.

Синтез слоёв SnO<sub>2</sub>

Синтез золь-геля SnO<sub>2</sub> проводили по методике [9-11]. SnCl<sub>2</sub>\*2H<sub>2</sub>O растворяли в этаноле с образованием раствора с концентрацией 0,1 М, и раствор прекурсора спиннинговали на подложке ІТО/стекло при 3000 об/мин при комнатных условиях. Механизм образования золь-геля SnO<sub>2</sub> в процессе





# **Proceedings of International Conference on Modern Science and Scientific Studies**

**Hosted online from Paris, France.** 

**Date:** 19<sup>th</sup> June - 2024

ISSN: 2835-3730 **Website:** econferenceseries.com

синтеза можно выразить следующим образом [9,12]:

$$SnCl_2*2H_2O + 2C_2H_5OH \rightarrow Sn(OH)_2 + 2C_2H_5Cl$$
 (1)

$$Sn(OH)_2 \rightarrow SnO + H_2O$$
 (2)

$$2SnO + O_2 \rightarrow 2SnO_2 \tag{3}$$

Полученные спиннингованием плёнки вначале термически отжигались нагревом при 180°C в течение 60 мин. Далее плёнки SnO<sub>2</sub> обрабатывались УФизлучением ртутной лампы в течение 15 мин при плотности излучения порядка 0,5 Вт/см<sup>2</sup>. Используемая для обработки ультрафиолетом/озоном лампа может производить УФ-излучение на двух длинах волн 253,7 нм и 184,9 нм с соответствующей энергией фотонов 472 и 647 кДж/моль. Обе эти энергии фотонов выше, чем энергии связи Sn-Cl и O-H 350 и 459 кДж/моль соответственно [13]. Они также больше, чем энергия связи С-С (346 кДж/моль), С-Н (411 кДж/моль) и С-О (358 кДж/моль) [13]. Следовательно, ультрафиолетовое излучение может легко разорвать эти химические связи, так что реакция продолжается. Длина волны света 184,9 HM преобразовывать молекулы кислорода  $O_2$  в активные молекулы озона  $O_3$ , что способствует образованию SnO<sub>2</sub> и разложению, а также окислению органических компонентов. Конечный побочный продукт будет выделяться в виде углекислого газа СО2 и паров воды Н2О. Кроме того, сама УФ-лампа приводит к нагреву образцов, и температура образцов во время УФ-обработки составляет примерно 70°C.

Изготовление ячеек.

Формирование ячеек, за исключением покрытия подложек  $SnO_2$ , было проведено в перчаточном боксе, заполненном  $N_2$ , с содержанием паров воды и кислорода не более нескольких ppm.

На приготовленном слое  $SnO_2$  n-типа формировалась плёнка перовскита  $CH_3NH_3PbI_3$ . Перовскитный абсорбер был синтезирован одностадийным методом при соотношении  $PbI_2$ :MAI=1:1. Как и в p-i-n-ячейках с PEDOT:PSS, предварительно приготовленный раствор прогревался при  $60-70^{0}$ C в течение 8 часов. Раствор наносился при спиннинговании в течение 40 с при 3000 об/мин с прикапыванием 100 мкл толуола на 7-й секунде. Далее полученный слой перовскита отжигался в течение 10 мин при  $100^{0}$ C.

В качестве материала с дырочной проводимостью нами был использован полимер политиофен (РЗНТ). Слой РЗНТ формировался при спиннинговании в течение 12 с со скоростью 600 об/мин и далее в течение 40с со скоростью 2000 об/мин. Полученный слой затем отжигался при 100°С в течение 10 мин.



**Date:** 19<sup>th</sup> June - 2024

ISSN: 2835-3730 **Website:** econferenceseries.com

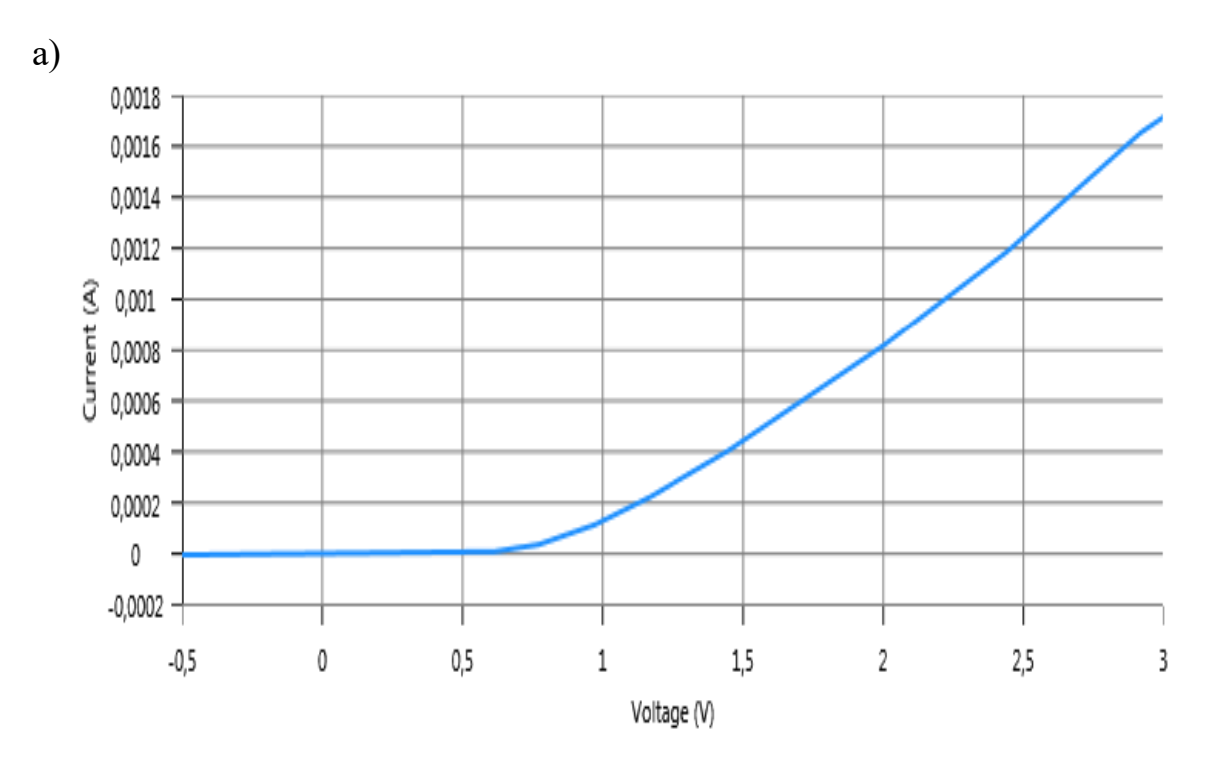
Верхний проводящий слой формировался нанесением на РЗНТ материала из нанотрубок, изготовленных в Институте нанотехнологий Университета Техаса в Далласе (США).

Исследование ВАХ солнечных ячеек.

Исследование вольтамперных характеристик полученных солнечных ячеек на основе йодистого перовскита с n-i-p-структурой на SnO<sub>2</sub> показывает, что данные ВАХ имеют вид, характерный для полупроводниковых структур с р-п-переходом (Рис.1а). При освещении стандартной мощностью в 1 Солнце наблюдается эффективная генерации фотоносителей и фото-ЭДС (Рис.1б). В этих условиях в указанных ячейках плотность тока короткого замыкания имеет величину до  $J_{K3}=0.5$ м $A^*$ см $^{-2}$ , а напряжение холостого хода составляет  $V_{oc}$ =0,5-0,7 В. Данные значение параметров ячеек близки к описанным в литературе (см., например, [9]) и свидетельствуют о перспективности проведения дальнейших исследований созданию ПО солнечных преобразователей на основе йодистого перовскита с n-i-p-структурой с SnO<sub>2</sub> в качестве слоя с электронной проводимость, в том числе при варьировании условий термического отжига И введения антирастворителя В формирующийся абсорбер.



Conference Series



ISSN: 2835-3730 **Website:** econferenceseries.com

б)

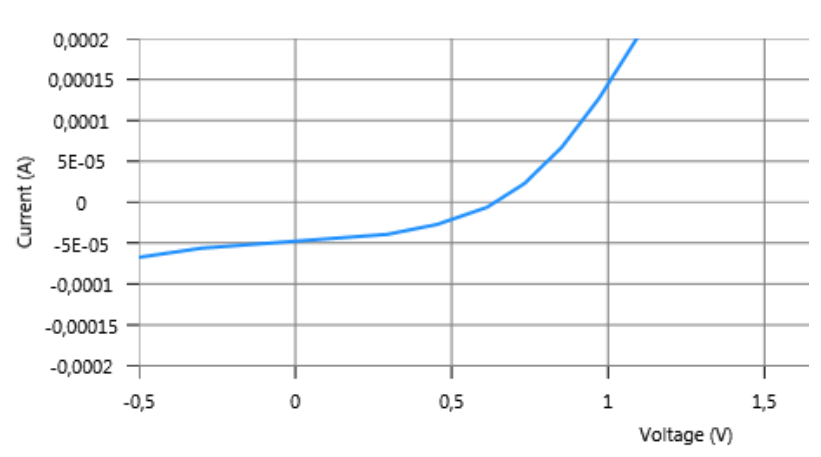


Рис. 1. Типичная вольтамперная характеристика (BAX) солнечной ячейки с n-i-p-структурой на основе йодистого перовскита CH<sub>3</sub>NH<sub>3</sub>PbI<sub>3</sub> с SnO<sub>2</sub> в качестве электронно-проводящего слоя: а) темновая BAX; б) BAX при освещении (фрагмент).

### Заключение

В результате проведённых работ систематических теоретических и экспериментальных исследований процессов преобразования энергии и явлений переноса в материалах солнечных ячеек на основе органиконеорганических перовскитов, были установлены новые экспериментальные факты и сформулированы основные физические закономерности, характеризующие данные процессы [14].

Показано, что параметры ячеек близки к описанным в литературе и свидетельствуют о перспективности проведения дальнейших исследований по созданию солнечных преобразователей на основе йодистого перовскита с n-i-p-структурой с  $SnO_2$  в качестве слоя с электронной проводимость, в том числе при варьировании условий термического отжига и введения антирастворителя в формирующийся абсорбер.

Совокупность полученных результатов позволяет сделать вывод о целесообразности, важности и перспективности продолжения экспериментальных и теоретических работ в данной области.

# Литература

- [1] N.-G.Park. //Cryst.Eng.Comm. 2016. V.8. P.5977–5985.
- [2] Н.Р.Ашуров, Б.Л.Оксенгендлер, С.Ш.Рашидова, А.А.Захидов. //Гелиотехника. 2016. Т.52, №1. С.5-15.
- [3] H.J.Snaith. //J. Phys. Chem. Lett. 2013. V.4. P.3623–3630.





# *Sonference Series*

## **Proceedings of International Conference on Modern Science and Scientific Studies**

**Hosted online from Paris, France.** 

Date: 19th June - 2024

ISSN: 2835-3730 Website: econferenceseries.com

- [4] M.Gratzel. //Nat. Mater. 2014. V.13. P.838–842.
- [5] M.Liu, M.B.Johnston, H.J.Snaith. //Nature. 2013. V.501. P.395–398.
- [6] J.-H. Im, I.-H. Jang, N.Pellet, M.Graetzel, N.-G.Park. //Nat. Nanotech. 2014. V.9. P.927–932.
- [7] G.Murugadoss, H.Kanda, S.Tanaka et al. //J. Power Source. 2016. V.307. P. 891-897.
- [8] D. Yang, R. Yang, K. Wang, et al. //Nat. Commun. 2018. V.9. P.3239(1-11).
- [9] L.Huang, X.Sun, Ch.Li et al. //ACS Appl. Mater. Interfaces. 2017. V.9(26). P. 21909-21920.
- [10] W.Ke, G Fang, Q.Liu, et al. //J. Am. Chem. Soc. 2015. V.137, P.6730-6733.
- [11] X.Ren, D.Yang, Z.Yang, et al. //ACS Appl. Mater. Interfaces. 2017. V.9. P.2421-2429.
- [12] V.-H. Tran, R.B.Ambade,; S.B.Ambade,; S.-H. Lee, I.-H. Lee. //ACS Appl. Mater. Interfaces. 2017. V.9. P.1645-1653.
- [13] Л.В.Гурвич и др. Энергии разрыва химических связей. Потенциалы ионизации и сродство к электрону. М., Наука, 1974. 351 с.
- [14] Н.Р.Ашуров, Н.Ш.Ашуров, Ж.Т.Азимов, С.Е.Максимов, С.Ш.Рашидова. //Гелиотехника (Solar Engineering). 2018. №6. С.11-15.

